

## A class of 3-bridge knots

東工大 理 森川 治

### 0. はじめに

2-bridge knot は、1956年 Schubert [9] によって分類された。すなわち、全ての 2-bridge knot は、整数の組  $(P, q)$  に対して standard に構成される knot  $K(P, q)$  と同型であり、又、2つの knot  $K(P, q)$  と  $K(P', q')$  が同型であるための必要十分条件は、(1)  $P=P'$  , (2)  $q=q'$  又は  $qq' \equiv 1 \pmod{2P}$  であることが示された。

しかし、3-bridge 以上の knot に対しては、ほとんどこのような結果は知られていない。現在、全ての 3-bridge knot は 6 つの整数により表現された standard な knot  $K(x,u; y,v; z,w)$  と同型であることが知られているが、これらの同型条件や、knot となるための条件は解決していない。ここでは、3 つの整数の組  $(P, q, r)$  に対し標準

的な 3-bridge knot  $K(P, Q; r)$  の構成法を与え、それに  
対して議論を行なう。

### 1. $K(P, Q; r)$ の定義

$K(P, Q; r)$  は、先づ 2-bridge knot  $K(P, Q)$  から  
 $K(P, Q; 0)$  を作り、この  $K(P, Q; 0)$  から  $K(P, Q; r)$  を作  
ることにより得られる。

(1)  $K(P, Q; 0)$  は次の4つの step により構成され  
る。

Step 0. 2-bridge knot  $K(P, Q)$  を作る。 $\beta: S^1 \rightarrow \mathbb{R}^2$   
を regular projection とする。 $K(P, Q)$  は図1のよう  $\beta$  で  
projection されているとする。

すなわち、underpass BE, FA  
は  $\mathbb{R}^2$  内にあり、overpass AB,  
EF は、 $\mathbb{R}_+^3 = \{\alpha, y, z) \in \mathbb{R}^3 \mid z \geq 0\}$   
内の annulus  $A_1, A_2$  上にあ  
るとする。Knot orientation  
は Schubert の記法と同様  
に、overpass AB において、  
A から B に向かっているよ  
うにとる。

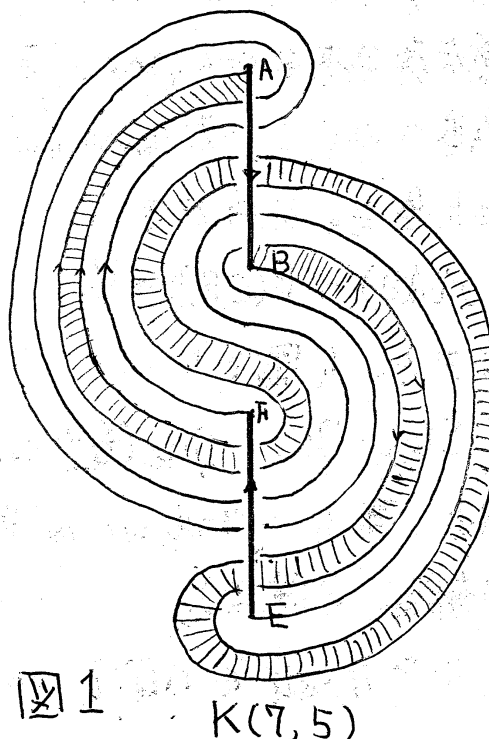


図1

$K(7, 5)$

Step 1. Parallel area を定義する。 $A'$ ,  $B'$  を  $P(AB)$  上の double point のうち、 $A=P(A)$ ,  $B=P(B)$  と最も近い点とする。 $P^{-1}(A') \cap K(P, \varrho) = \{A', A'_+\}$ ,  $P^{-1}(B') \cap K(P, \varrho) = \{B', B'_+\}$  となるように、 $A'_+$ ,  $B'_+$  を定義する。

overpass  $AB$  の subarc  $AA'_+$ ,  $B'_+B$  の projection  $P(AA'_+)$ ,  $P(B'_+B)$  と、underpass の一部  $A'B$ ,  $AB'$  の計 4 本の arc により 1 つの circle が出来る。この circle が囲まれる領域のうち、点 E を含まない方の領域を、“Parallel area” と呼ぶ。(図 1 の斜線部分)

Step 2. Parallel area 内に 2 点 C, D を  $A$ ,  $B$  の近傍にとる。 $K(P, \varrho)$  から overpass  $AB$  を取り除く。

新たに 2 本の overpass を  $AB$  ののぞいた annulus  $A_1$  上に作る。このとき、

$$P(AD) \cap P(CB) = \emptyset$$

とする。(図 2)

Step 3. Parallel area 内に、新たに underpass DC を作る。(図 2)

この knot を  $K(P, \varrho; 0)$  と

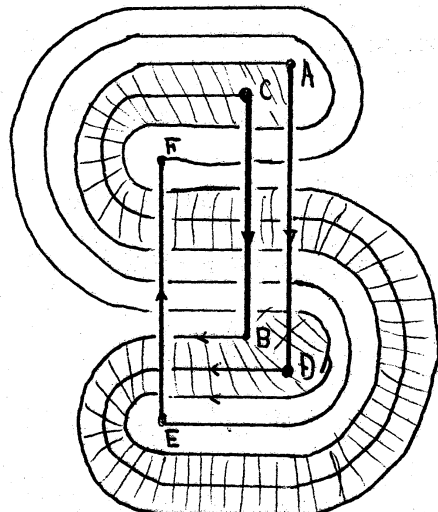


図 2.  $K(7,5; 0)$

定義する。

(2)  $t \neq 0$  の  $K(P, 8; t)$  は次の step により構成される。

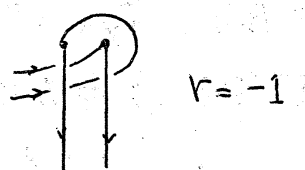
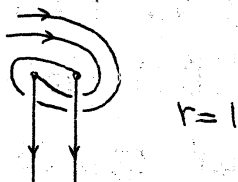
Step 4.  $\mathbb{R}^2$  内で、underpass

$FA$  と  $DC$  の点  $C, A$  の近くを、

annulus  $A_1$  を中心にして、 $t > 0$

のときは、右まわりに  $t$  回、 $t < 0$  の

ときは、左まわりに  $|t|$  回 まわす。(図 3)。



以上の操作により得られた Knot を 図 3

$K(P, 8; t)$  と定義する。(図 4)。

Remark: parallel arc をとるとき、overpass  $AB$  の代りに  $EF$  をとったとしても、2-budge knot の対称性により全く同じ Knot  $K(P, 8; t)$  が得られる。

次に  $K(P, 8; 0)$  から整数の組  $(s, t)$  を定義する。  $CD$  を annulus  $A_1$  上の arc とし、 $FE$  を  $\mathbb{R}^2 - (FA \cup DC \cup BE) \cup \{EF\}$  上の arc とする。すると curve  $CDC$  と  $EFE$  は 2 本の simple closed curve となるので、 $\mathbb{R}^3$  内の 2-budge link となる。この link type を  $(s, t)$  とおく。すると、 $(s, t)$  は次の条件をみたす。

Lemma 1.  $\det \begin{pmatrix} P, 8 \\ s, t \end{pmatrix} = \pm 1$ ,  $s$ : even,  $0 < |t| < 1 < p$ .

Proof. torus  $T^2$  を  $S^2 = \mathbb{R}^2 \setminus \{0\}$  上の  $P(CB), P(EF)$  を branched set とする 2-fold branched covering space とする。 $P: T^2 \rightarrow S^2$  を covering map とする。すると、 $P^{-1}(DC)$  は、 $T^2$  上の simple closed curve となり、torus knot type  $(s, t)$  となる。 $DB$  を  $\mathbb{R}^2$  上の他の arc と表わすと、arc とすると、 $P^{-1}(DBE)$  も  $T^2$  上の simple closed curve となる。type  $(P, Q)$  となる。又、 $P^{-1}(DC) \cap P^{-1}(DBE)$  は、 $P^{-1}(D)$  1 点だけとなるので、この 2 本の simple closed curve の intersection number は  $\pm 1$  である。又、intersection number は  $\det(P_Q)$  でもあるので、 $\det(P_Q) = \pm 1$  を得る。又、Schubert の結果より、 $(s, t)$  が link を表わすパラメータであるので、 $s$  は偶数であり、 $0 < |t| < s$  である。又、underpass DC の定義より  $s < P$  は明らかである。//

この Lemma より、DC は overpass EF の像  $P(EF)$  と  $\frac{s}{2}$  回交わっていることがわかる。又、 $P(AD), P(CB)$  とは  $\frac{s}{2}-1$  回ずつ交わっていることがわかる。

Remark:  $(s, t)$  は  $(P, Q)$  より幾何学的に定義し、Lemma の条件をみたすことと証明したが、Lemma の条件をみたす  $(s, t)$  は  $(P, Q)$  から代数的に unique に定まることが、容易に示せる。

## 2. $K(P, Q; r)$ の Alexander polynomial について.

knot group  $\pi K = \pi_1(S^3 - K)$  を under presentation により次のように表現する。generator  $a, b, c$  として、underpass  $BE, FA, DC$  を左から右に横切った事に対応させ、relator として overpass  $EF$  と  $CB$  が得られるものを使う。W として、

$K(P, Q; 0)$  において、

overpass  $EF$  はさって読

んだ word とし、Vを、や

はり  $K(P, Q; 0)$  において

overpass  $CB$  はさって逆に

読んだ word に対応させ

る。(図4)。すると  $\pi K$

は、 $\det(P_t^Q) = 1$  の場合、

$\langle a, b, c \mid aWb^{-1}W^{-1},$

$aV(cbc)^t c^{-1}(c^{-1}b^{-1})^t V^{-1} \rangle$

又、 $\det(P_t^Q) = -1$  の場合

$\langle a, b, c \mid aWb^{-1}W^{-1},$

$aV(cbc)^t c^{-1}(b^{-1}c^{-1})^t V^{-1} \rangle$

と表現される。すなわち、2番目の relator (overpass BC に対応するもの) (か V の影響を受けない)。

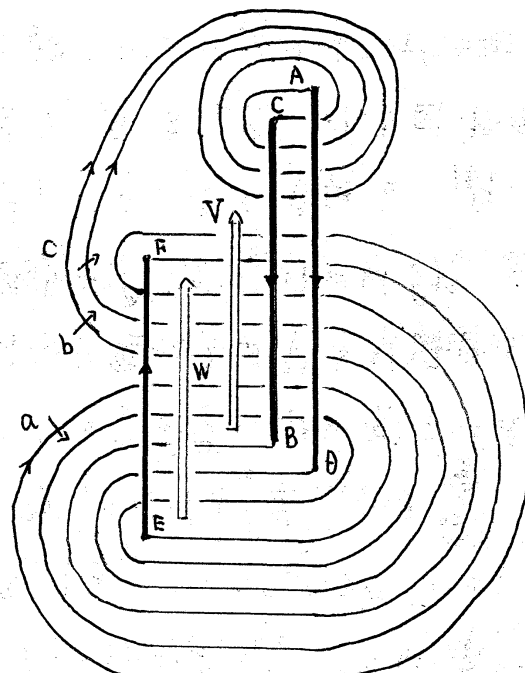


図4.  $K(7,5;2)$

word  $W$  は次の性質をみたす。

Lemma 2.  $\#\{i \mid i\text{-th term of } W \text{ is } a^{\pm 1}, i \text{ is odd}\}$   
 $- \#\{i \mid i\text{-th term of } W \text{ is } a^{\pm 1}, i \text{ is even}\} = 1 \text{ or } 0$

Proof. word  $W$  を

$$W = u_0 c^{\varepsilon_1} u_1 c^{\varepsilon_2} \cdots u_{k-1} c^{\varepsilon_k} u_k, \quad \varepsilon_j = \pm 1, \quad u_j \in a^{\pm 1}, b^{\pm 1} \text{ が成る word}$$

とすると、word  $u_0 u_1 \cdots u_k$  は 2-bridge knot  $K(P, Q)$  の overpass EF に沿って読んだ word である。よってこの word 内では、 $a^{\pm 1}$  と  $b^{\pm 1}$  が交互に表われている。又、 $u_0$  は  $b^{\pm 1}$  で始まっている。すなわち、次のことが言える：

①  $u_j$  内の  $a^{\pm 1}$  は、 $j$  が偶数なら  $W$  内で偶数文字目、 $j$  が奇数なら  $W$  内で奇数文字目の文字である。

よって次の式の値が 0 又は 1 であることを示せばよい。

$$\sum_{j=0}^k (-1)^{j+1} \#\{i \mid i\text{-th term of } u_j \text{ is } a^{\pm 1}\} \cdots (*)$$

次に、set  $\{0, 1, \dots, k\}$  上の permutation  $\tau$  を次のように定める。 $S^2 - P(EF) - DC$  の connected open domain  $O_1, O_2, \dots, O_k$  を考える。このとき、 $O_i$  を、点 E を含む open disk とする。Lemma 1 で述べたように、underpass DC は、2-bridge link (s.t) type の underpass と同じふるまいをする。すなわち、 $Cl(O_i) \cap DC$  は 2 本の subarc であり、 $Cl(O_i) \cap P(EF)$  も 2 本の subarc である（となり合う 2

本の subarc の場合も

ある。(図5)。ここ

で、(1)  $\Gamma(O)=0$ ,

(2)  $O_j$  の closure と

$P(EF)$  の交わりは、

word  $U_{\sigma(j-1)}$  と  $U_{\sigma(j)}$

に応する 3 subarc である。

とする。

このように定義した

$\Gamma$  は次の性質をもたす。

$$\Gamma(j) \equiv j \pmod{2}$$

なぜなら、点  $\gamma$  を含む

domain  $O_j$  が存在す

る(図5の  $O_3$ )。すると、 $\Gamma$  の定義(2) より、 $\Gamma(j)$  と  $\Gamma(j-1)$

はとなり合ってなる。すなわち、 $\Gamma(j-1) \equiv \Gamma(j) + 1 \pmod{2}$

である。次に、 $C_j$  は  $\partial C$  により接してある domain  $O_i$  が

必ず存在する(図5の  $O_5$ )。このとき、次の二つは成立

立つ。

$$\begin{cases} \Gamma(j) \equiv \Gamma(i) + 1 & \text{and} \quad \Gamma(j-1) \equiv \Gamma(i-1) + 1 \pmod{2} \\ \Gamma(j) \equiv \Gamma(i-1) + 1 & \text{and} \quad \Gamma(j-1) \equiv \Gamma(i) + 1 \pmod{2} \end{cases}$$

しかし、いちごの場合でも、 $\Gamma(i-1) \equiv \Gamma(i) + 1 \pmod{2}$  が成り

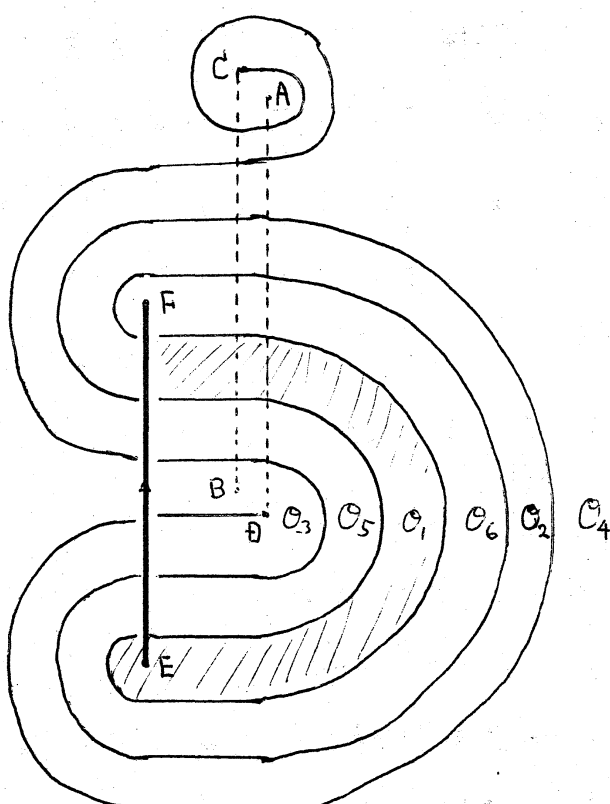


図5.  $K(17, 7; -2)$

立つ。同様に、 $O_i$  と DC と接していて、 $O_j$  でない domain  $O_k$  不見つたり、 $\Gamma(k-1) \equiv \Gamma(k) + 1 \pmod{2}$  が成り立つ。よって、全ての  $j$  で  $\Gamma(j-1) \equiv \Gamma(j) + 1 \pmod{2}$  が成り立つ。又、 $\Gamma$  の定義(1)より  $\Gamma(0) \equiv 0 \pmod{2}$  であるから、結局 全ての  $j$  で、 $\Gamma(j) \equiv j \pmod{2}$  が成り立つ。よって、次の式の値は、式(\*)の値と等しい。

$$\sum_{j=0}^k (-1)^{j+1} \# \{ i \mid i\text{-th term of } U_{\Gamma(j)} \text{ is } a^{\pm 1} \} \cdots (*)$$

さて、generator  $a$  は underpass BE に対応して定義されたことを思い出して、式(\*)を見ると次のことがわかる。 $\Gamma$  の定義より明らかなように、 $U_{\Gamma(j)}$  に対応する subarc を BE が横切った次は、 $U_{\Gamma(j \pm 1)}$  に対応する subarc を横切る。すなわち、BE に沿って見るととき、W 内の  $a^{\pm 1}$  は、式(\*)の値を増加させるものと、減少させるものが交互に現れる。BE において最後に横切る点は  $U_{\Gamma(0)}$  に対応する EF の subarc であるため、最初に横切る点により式(\*)の値は 1 又は 0 となる。//

word W の Lemma 2 の性質より、次の定理が導かれる。

Theorem 1.  $(P, q)$  を、共に奇数、 $0 < |q| < P$ ,  $(P, q) = 1$  を満たす整数の組とする。3-bridge knot  $K(P, q; t)$  の Alexander polynomial を  $\Delta_t$  と書くことにする。このとき、整数の組、 $r_0, r_1, m, d_1, d_2, \dots, d_n$  が存在し、次の条件

を満たす。

$$1) \quad r_0 < r_1$$

2)  $\forall r \geq r_1$  に対し、 $\Delta_r$  の係数は、

$$\alpha_1 \alpha_2 \cdots \alpha_n \underline{1 - 1 \ 1 - 1 \cdots 1 - 1} \ \alpha_{n+1} \cdots \alpha_l$$

となり、下線部分は、 $(1, -1)$  や  $(r - r_1)$  回くり返し現れてる。

3)  $\forall r \leq r_0$  に対し、 $\Delta_r$  の係数は、

$$\alpha_{n+1} \alpha_{n-1} \cdots \alpha_2 + 1 \ \alpha_1 - 1 \ \underline{1 - 1 \ 1 - 1 \cdots 1 - 1} \ \alpha_{l-1} \cdots \alpha_n + 1$$

又は、

$$\alpha_{n+1} \alpha_{n-1} \cdots \alpha_2 - 1 \ \alpha_1 + 1 \ \underline{-1 \ 1 - 1 \ 1 \cdots -1 \ 1 - 1} \ \alpha_{l+1} \cdots \alpha_n + 1$$

$(n: \text{even})$

となり、下線部分は、 $(1, -1)$  を  $(r_0 - r)$  回くり返したものである。

Proof knot group  $\pi K$  の表示は 2通りあったが、先ず次のタイプについて証明する。

$$\pi K = \langle a, b, c \mid aWb^{-1}W^{-1}, aV(bc)^r c^{-1}(c'b')^r V^{-1} \rangle$$

\* と abelianization とし、 $a^* = b^* = c^* = x$  とする。すると

Alexander polynomial は、

$$\Delta_r(x) = \begin{vmatrix} \left\{ \frac{2}{ab} (aW - Wb) \right\}^* & \left\{ \frac{2}{ab} (aW - Wb) \right\}^* \\ \left\{ \frac{2}{ab} (aV(bc)^r - V(bc)^r c) \right\}^* & \left\{ \frac{2}{ab} (aV(bc)^r - V(bc)^r c) \right\}^* \end{vmatrix}$$

と書ける。ここで、polynomial  $f_1(x), f_2(x), f_3(x), f_4(x)$  と整数  $m$  を次の式が成り立つように選べる。

$$\Delta_r(x) = \begin{vmatrix} 1 + f_1(x)(x-1) & f_2(x) \\ f_3(x) & f_4(x) - x^m \frac{1-x^{2r}}{1+x} \end{vmatrix}$$

この  $f_1, f_2, f_3, f_4, m$  は、word  $W, V$  によつての対応まるの  $\tilde{\gamma}, \gamma$  は関係しない。 $\tilde{\gamma} = \tilde{\gamma}'$  word  $W, V$  の長さを  $l_1, l_2$  とする。又、多項式  $f(x)$  が  $\sum_{k=0}^r a_k x^k$  と書けるとき、  
 $\underline{l \leq \text{power}(f) \leq m}$  と記述することにする。 $f_1, f_2, f_3, f_4, m$  は次の条件をみたす。

- 1)  $-l_2 \leq m \leq l_2$
- 2)  $-l_1 \leq \text{power}(f_1) \leq l_1$
- 3)  $-l_1 \leq \text{power}(f_2) \leq l_1$
- 4)  $-l_2 \leq \text{power}(f_3) \leq l_2$
- 5)  $-l_2 \leq \text{power}(f_4) \leq l_2$ .

Alexander polynomial  $\Delta_r(x)$  は、

$$\begin{aligned} \Delta_r(x) &= (1 + f_1(x)(x-1)) (f_4(x) - x^m \frac{1-x^{2r}}{1+x}) - f_2(x) f_3(x) \\ &= (1 + f_1(x)(x-1)) f_4(x) - f_2(x) f_3(x) - x^m (1 + f_1(x)(x-1)) \frac{1-x^{2r}}{1+x} \\ &= f_5(x) - x^m (1 + f_1(x)(x-1)) \frac{1-x^{2r}}{1+x} \end{aligned}$$

たゞし、 $-(l_1 + l_2) \leq \text{power}(f_5) \leq (l_1 + l_2 + 1)$  である。

$\tilde{\gamma} = \tilde{\gamma}'$ 、 $f_1(x) = \left\{ \frac{2}{3x} W \right\}^*$  であること、 $W$  が lemma 2 で述べた性質をみたすことより、次の様な条件をみたす多項式  $g(x)$  が存在する。

$$1 + f_1(x)(x-1) = (1+x) g(x) + \varepsilon. \quad \varepsilon = \pm 1$$

$$-\ell_1 \leq \text{power}(g) \leq \ell_1.$$

よって、

$$\begin{aligned} x^m \Delta_r(x) &= x^m f_5(x) - g(x) + x^{2r} g(x) - \varepsilon \frac{1-x^{2r}}{1+x} \\ &= f_6(x) + x^{2r} g(x) - \varepsilon \frac{1-x^{2r}}{1+x} \end{aligned}$$

$$\text{ただし、 } -(l_1+2l_2) \leq \text{power}(f_6) \leq l_1+2l_2+1.$$

よって、 $r \geq 2l_1+2l_2+1$  又は  $r \leq -(2l_1+2l_2)$  のとき、 $\Delta_r$  の係数の中間部は、 $f_6(x), g(x)$  にかかわらず、 $-\varepsilon \frac{1-x^{2r}}{1+x}$  の係数、1又は-1がそのまま現れる。

$$\Pi K = \langle a, b, c \mid aWb^tW^{-1}, aV(c'b)^t c^{-1} (b^t c^{-1})^k V^{-1} \rangle$$

のタイプに対しても、全く同様に証明できる。 //

Th. 1 で示した  $(P, q)$  から定まる  $(\tau_0, \tau_1, \tau_2; x_1, x_2, \dots, x_n)$  を  $\Gamma(P, q)$  と書くことにする。

この定理により、1つの  $(P, q)$  から得られる 3-bridge knot  $K(P, q; \tau)$  が、ほとんど全て相異なることがわかる。  
又、次の結果を導ける。

*Corollary 1.* 2-bridge knot  $K(7, 3)$  と  $K(7, 5)$  は同じ knot type である[9]。しかし、任意の  $\tau, \tau'$  に対し、 $K(7, 3; \tau)$  と  $K(7, 5; \tau')$  が同じ knot type となることはない。

*Proof.* Th. 1 を利用することにより、有限個の Alexander polynomial を比較することにより証明できる。

$\Gamma(7,3) = (-2, 4, 5; 0, 2, -4, 3, -1)$  であり、  
 $-2 < r < 4$  の  $r$  に対し、 $\Delta_r$  は

$$\Delta_1 = 2x^3 - 3x^2 + x + 1 + x^{-1} - 3x^{-2} + 2x^{-3}$$

$$\Delta_0 = 2x^2 - 3x + 3 - 3x^{-1} + 2x^{-2}$$

$$\Delta_1 = 4x - 7 + 4x^{-1}$$

$$\Delta_2 = 2x^2 - 4x + 5 - 4x^{-1} + 2x^{-2}$$

$$\Delta_3 = 2x^3 - 4x^2 + 3x - 1 + 3x^{-1} - 4x^{-2} + 2x^{-3}$$

一方、

$\Gamma(7,5) = (-2, 4, 5; 1, -1, -1, 2, -1)$  であり、  
 $-2 < r < 4$  の  $r$  に対し、 $\Delta_{r'}$  は、

$$\Delta_1 = x^3 - 2x + 3 - 2x^{-1} + x^{-3}$$

$$\Delta_0 = x^2 + x - 3 + x^{-1} + x^{-2}$$

$$\Delta_1 = x^2 - 1 + x^{-2}$$

$$\Delta_2 = x^3 - x^2 - x + 3 - x^{-1} - x^{-2} + x^{-3}$$

$$\Delta_3 = x^4 - x^3 - x^2 + 2x - 1 + 2x^{-1} - x^{-2} - x^{-3} + x^{-4}$$

である。

よって、任意の  $r, r'$  に対し、 $\Delta_r \neq \Delta_{r'}$  である。すなわち、任意の  $r, r'$  に対し、 $K(7,3;r)$  と  $K(7,5;r')$  が同じ knot type となることはない。//

### 3. $K(P, q; r)$ の性質について.

一般に、 $n$ -bridge knot は、genus  $n$  の standard surface  $F_n$  上に embed できることは明らかである。(しかし、 $K(P, q; r)$  は 3-bridge knot にも不可わらず、定義から明らかなように、genus 2 の  $F_2$  上に embed できる。)

Prop. 1  $K(P, q; r)$  は  $F_2$  上に embed できる。

このことから、次の定理が導ける。

Theorem 2  $K(P, q; r)$  は strongly invertible knot である。

Proof genus 2 の standard surface  $F_2$  上の simple closed curve は、 $S^3$  内の  $F_2$  の ambient isotopy により、対称形に変形できる[1]。すなはち、 $S^3$  の involution  $f: S^3 \rightarrow S^3$  が存在し、 $f(F_2) = F_2$ 、  
 $f(K(P, q; r)) = K(P, q; r)$  をみたすようにできる。又、  
 $K(P, q; r)$  の  $F_2$ への embedding は、 $F_2$  上の homologous ではない。(overpass EE や annulus  $A_2$  はのってゐることを考えれば明らかである)。よって、knot  $K$  は、involution  $f \circ$  fixed point をもつ。すなはち、 $K$  は strongly invertible knot である。//

Remark :  $F_2$  上に embed できる knot と云う。

2-bridge knot 以外のものごく多くいるのは、  
 Pretzel knot のうち、twist 部分が 3 つあるタイプの  
 $P_3(7, 8, 1)$  である。しかし、これは、 $F_2$  上で homologous  
 0 であるので、Theorem 2 は成立しない。例えば、  
 $P_3(7, 5, 3)$  は non-invertible knot であることが、  
 1964 年、Trotter により示された [12]。

Prop. 1  $\hat{\gamma}$  knot  $K(7, 8; 1)$  は genus 2 の standard  
 surface  $F_2$  上にのることを示したが、次の knot はさら  
 に、genus 1. すなわち torus 上の knot である。

Prop. 2.  $K(3, 1; 0) \approx T(5, 2) \approx K(5, 1)$

Proof  $\hat{\gamma}(K(3, 1; 0))$  において、AB と DC の交わりは  
 、1 点目だけである (図 6)。 $\varepsilon = 2$ 、underpass DC の上を  
 横切っていき overpass を DC 及び overpass AB にそって  
 動かし変形することにより、underpass FA の上を横切るよう  
 に変形できる。この操作により、underpass DC 上を横切る

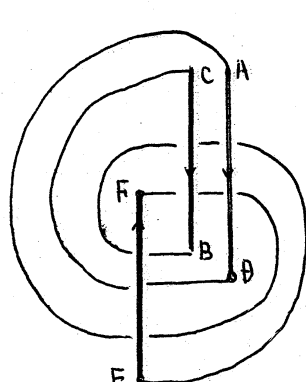
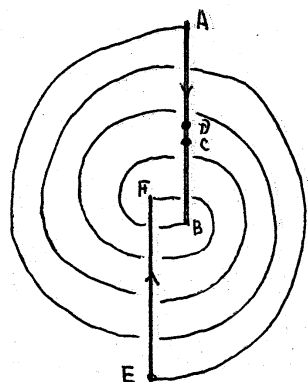
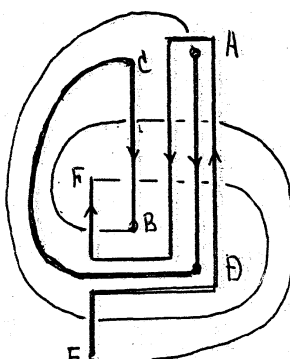


図 6.  $K(3, 1; 0)$



$K(5, 1)$

overpass を全て取り除くことができる。この操作を “点Dに関する move operation” と呼ぶ。[4][5]。これにより、ADCB を 1 つの overpass とすることが出来る。よって、2 つの overpass をもつ knot が得られる。Schubert の標準型にあってゆくと、 $K(5,1)$  が得られる。又 Schubert の結果により、この knot は torus knot  $T(5,2)$  であることがわかる。//

さらに次の knot も torus knot である。

Prop. 3.  $K(2n+1, 1; -1)$ ,  $K(2n+1, 1; -2)$  は torus knot  $T(3n+1, 3)$ ,  $T(3n+2, 3)$  である。 $(n=1, 2, \dots)$ .

Proof  $K(2n+1, 1; -1)$  について。

先ず overpass CB を overpass AD の上をまたがせる ( $7-1 \Rightarrow 7-2$ )。overpass EF を、点 F を中心に回転させ、AD のところにもちてゆく ( $7-2 \Rightarrow 7-3$ )。すると、3 本の overpass EF, AD, CB は 1 つの annulus A 上にのせられるので、torus knot である。 $(7-4)$ 。以上の変形で、overpass EF における double points の数は不变であるので、 $K(2n+1, 1; -1)$  のときと同じ、3 個である。よって、この torus knot は type  $(3n+1, 3)$  である。

$K(2n+1, 1; -2)$  について。

overpass EF を点Fを中心に回転させ、overpass CB の近くにもつてゆく ( $8\cdot 1 \Rightarrow 8\cdot 2$ )。underpass CD を underpass EB の下をくぐらせる ( $8\cdot 2 \Rightarrow 8\cdot 3$ )。overpass EF を overpass CB 及び AD の下をくぐらせる ( $8\cdot 3 \Rightarrow 8\cdot 4$ )。これにより、3本の overpass は 1つの annulus 上にのせられるので、torus knot である。この変形で、overpass EF 上の double point の数は、初め3ヶ所であったものが、( $8\cdot 2 \Rightarrow 8\cdot 3$ ) の変形で 1つ増加して、(underpass CDとの交わりが増加)  $3n+1$  となる。その後は不变であるので、torus knot の type は  $(3n+2, 3)$  である。//

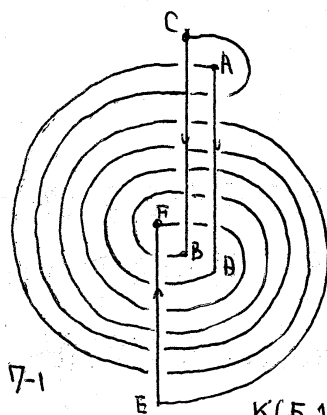


図 7-1

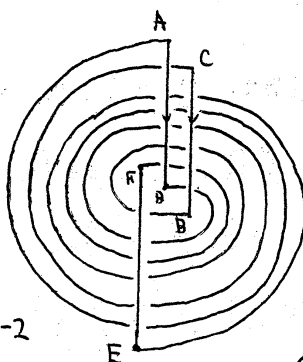
 $K(5,1;-1)$ 

図 7-2

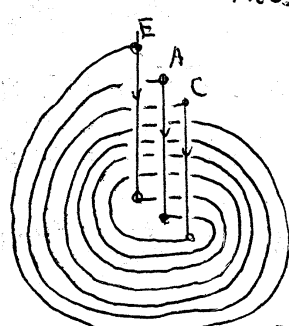


図 7-3

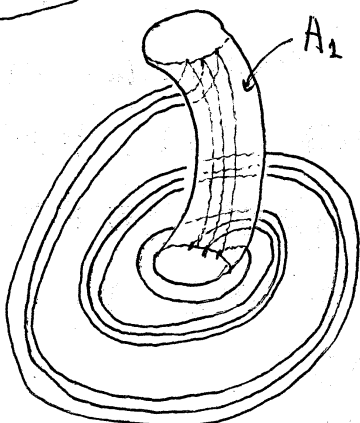
 $T(7,3)$ 

図 7-4

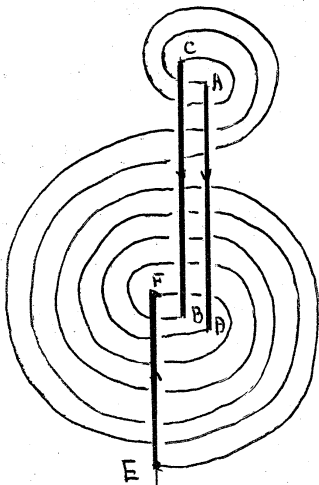


図8-1

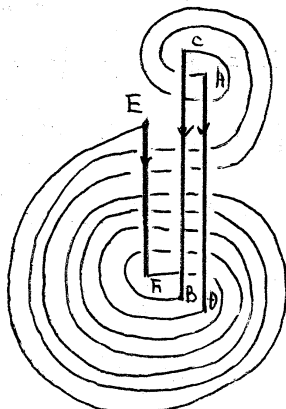
 $K(5,1;-2)$ 

図8-2

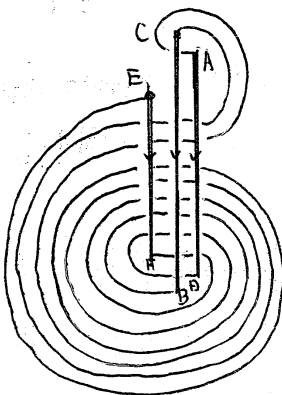


図8-3

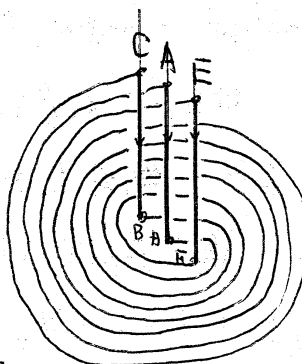


図8-4

 $T(8,3)$ 

たゞ、 $K(p,q; t)$  は 3-bridge Knot であるが、次の Knot の bridge index は 2 である。

Prop 4 次の Knot は 2-bridge Knot type に属する。

$$K(4n+1, 2n+1; 0) \approx K(8n+1, 6n+1)$$

$$K(4n+1, 2n+1; 1) \approx K(8n+3, 2n+1)$$

$$K(4n+3, 2n+1; 0) \approx K(8n+5, 2n+1)$$

$$K(4n+3, 2n+1; -1) \approx K(8n+7, 6n+5)$$

Proof これらの Knot は Lemma 1 で述べた  $(p, q; r)$  が  $(2, 1)$  となるものである。よって、 $r = 0$  のとき、 $P(CB)$  と  $BC$  の交わりは 1 点  $C$  だけから成る。又、 $K(4n+1, 2n+1; 1)$  のとき(図 9-1)、 $K(4n+3, 2n+1; -1)$  のとき(図 9-2) もこの性質はくずれない。よって、点  $C$  に関する more operation を行なえ、2-bridge Knot を得る。//

ほとんどの Knot  $K(p, q; r)$

は、Alexander polynomial  
により、bridge index が 3 であることや、torus knot ではない  
ことが示せるが、例外もある。

Prop 5 次の Knot の Alexander polynomial は、2-bridge torus knot のそれと同じであるが、異なる Knot である。  
すなわち、bridge index 3 の Knot である。

$$(1) K(4n+1, 1; 3n) \neq T(6n+1, 2) \quad (n=1, 2, \dots)$$

$$(2) K(4n-1, 1; 3n-3) \neq T(6n-1, 2) \quad (n=2, 3, \dots)$$

証明のアウトライン :

(1) の Knot の  $\pi K = \langle a, b, c \mid a(bca)^{2n} b^1 (a^{-1}c^{-1}b)^{2n}, a(b^1a^{-1}c^{-1})^{2n-1} b^1 a^{-1} (bc)^{3n} c^{-1} (c^{-1}b)^{3n} ab(cab)^{2n-1} \rangle$  であることより、Alexander polynomial を求めると、 $\frac{x^{12n+2}-1}{(x^{6n+1}-1)(x+1)}$  が得られる。これは  $T(6n+1, 2)$  のそれと等しい。異なることを示すために村松 signature を求め

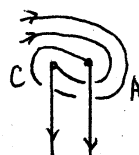


図 9-1  
 $K(4n+1, 2n+1; 1)$

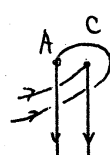


図 9-2  
 $K(4n+3, 2n+1; -1)$

ると、 $\Gamma(K(4n+1, 1; 3n)) = 2n$ ,  $\Gamma(T(6n+1, 2)) = 6n$  不得  
られ、異なることを示せる。

(2) の Knot の  $\pi K = \langle a, b, c \mid a(bca)^{2n-1} b^{-1}(a^{-1}c^{-1}b)^{2n-1}, a(b^{-1}a^{-1}c^{-1})^{2n-2} b^{-1}a^{-1}$   
 $(bc)^{3n-3} c^{-1}(c^{-1}b)^{3n-3}, ab(cab)^{2n-2} \rangle$  であることをよ」  $\Delta(x) = \frac{x^{12n-2}-1}{(x^{6n-1})(x+1)}$   
を得られ  $T(6n-1, 2)$  と同じことわかる。又、村杉 signature  
は、 $\Gamma(K(4n-1, 1; 3n-3)) = 2n+2$ ,  $\Gamma(T(6n-1, 2)) = 6n-2$  よ」。  
 $n \geq 2$  では異なる。//

Remark : (2) における  $n=1$  のときは、同じ knot type  
である。(Prop. 1). (1) の証明の別証として、unknotting  
number を用いた証明がある(近藤)。

この他、この section に書くべきことも多くあるが、紙面  
の都合で、後は結果だけ述べておく。詳しくは、[6] を参  
照して下さい。

Prop. 6. 次の Knot の Alexander polynomial は互  
に等しいか、相異なる knot type の knot である：

$n, k \geq 1$ ,  $n \neq k$  のとき。

$$(1) K(4n+1, 1; 3n+3k) \neq K(4k+1, 1; 3n+3k)$$

$$(2) K(4n-1, 1; 3n+3k-3) \neq K(4k-1, 1; 3n+3k-3)$$

$n, k \geq 1$  のとき。

$$(3) K(4n+1, 1; 3n-3k) \neq K(4k-1, 1; -3n+3k-3)$$

$K(P, q; r)$  の branched set と  $S^3 = \mathbb{R}^3 \cup \{\infty\}$  の 2-fold branched covering space を  $D(P, q; r)$  と書くこととする。

Prop 7  $D(P, q; r)$  は homology lens space である。

Prop 8  $D(4m+1, 2n+1; r), D(4m+3, 2n+1; r)$  は Seifert mfd である。

Theorem 3 任意の  $(P, q)$  に対し、 $D(P, q; r)$  が homology sphere となる  $r$  が存在する。

#### 4. コンピュータ実験の結果と問題

$P$  の値が 17 以下の全ての  $K(P, q; r)$  は、Prop 2, 3 で示したもの以外に torus knot は存在せず、Prop 2, 4 で示したもの以外は、2-bridge knot と同じ knot type にはならないことを証明してきた。そこで、

予想： Prop 2, 3 以外の knot は全て torus knot でない。  
また、Prop 2, 4 以外の knot の bridge index は 3 である。

又、 $K(5, 1; 2) \approx K(7, 5; -1)$  である。よって、  
 $K(P, q; r)$  は、 $(P, q, r)$  と 1 対 1 対応はつかない。

問題：  $K(P, q; r) \approx K(P', q'; r')$  となる triplet

$(P, g, r)$  と  $(P', g', r')$  の関係を明らかにせよ。

### References

- [1] J.S. Birman and H.M. Hilden : Heegaard splitting of branched covering of  $S^3$ , Trans. Amer. Math. Soc. 213 (1975) 315-352
- [2] R.I. Hartley : On two bridge knot polynomials. J. Austral. Math. Soc. 28 (1979), 241-249
- [3] J.M. Montesinos : Varietades de Seifert que son recubrimientos ciclicos ramificados de dos hojas, Bol. Soc. Mat. Mexicana. 18 (1973), 1-32
- [4] 森川 治 : An algorithm for decreasing bridge numbers of knots. 東工大・情報科学科修士論文 (1979)
- [5] 森川 治 : 結び目の作図とその簡素化, but 13 (1981) 812-821
- [6] 森川 治 : A class of 3-bridge Knots, to appear in Math. Sem. Notes of Kobe Univ.
- [7] K. Morasugi : On a certain numerical invariant of link types, Trans. Amer. Math. Soc. 117 (1965), 387-442
- [8] D. Rolfsen : Knots and Links, Reblish or Perish Inc. Berkley, 1976
- [9] H. Schubert : Knoten mit zwei Brücken. Math.

Z. 65 (1956) 133-170

[10] T. Shinohara: On the signature of Knots and Links, Ph.D. Florida, 1969

[11] 戸川隼人: マトリックスの数値計算, オーム社

[12] H. Trotter: Non invertible knots exist, Topology  
2 (1964) 275-280